

## Original Article



# Land Use/Cover Change Modeling with Emphasis on Built-Up Land Growth with the Help of CA-Markov Model Integration and Multi-Criteria Decision Analysis Based on GIS.(Case Study: Aras River Watershed)

Sadegh Boulaghi<sup>1</sup>, Haniyeh Afsahi<sup>1</sup>, Masoud Minaei<sup>2\*</sup>**Affiliation**

1. M.Sc. Student, Department of Geography, Ferdowsi University of Mashhad, Geographic Information Science/System and Remote Sensing Laboratory (GISSRS: Lab), Ferdowsi University of Mashhad, Mashhad, Iran
2. Associate Prof., Department of Geography, Ferdowsi University of Mashhad, Geographic Information Science/System and Remote Sensing Laboratory (GISSRS: Lab), Ferdowsi University of Mashhad, Mashhad, Iran.

**ABSTRACT**

**Introduction:** In recent years, global population growth and urban expansion have led to significant land use and cover changes. These changes have numerous detrimental consequences, such as increasing surface temperatures, deforestation, desertification, degradation of ecosystem services, biodiversity loss, and threats to food security. Therefore, monitoring and modeling these changes are essential for optimal land management and sustainable utilization of natural resources. Given that the Aras River Basin has undergone significant transformations over time, particularly in built-up land developments, this research focuses on modeling land use/land cover changes in this area.

**Materials and Methods:** Initially, land use maps for the region were extracted for the years 2000 and 2020 from the Globeland30 project of the China National Geomatics Center. Subsequently, two maps were prepared to illustrate the potential growth of built-up land based on a land development scenario. This was achieved using advanced decision-making analysis methods based on GIS, including BWM and MEREC. Finally, these two maps, along with the land use maps, were combined to form the input for the CA-Markov model. The modeling process was carried out twice: once using the BWM + CA-Markov combination, and again using the CA-Markov + MEREC combination for the year 2040.

**Results and Discussion:** The examination of the results demonstrated that in the output of the combined BWM + CA-Markov model, the extent of built-up land increased from 603 square kilometers in 2020 to over 930 square kilometers in 2040. Meanwhile, this figure was approximately 829 square kilometers in the output of the MEREC + CA-Markov model. Furthermore, the final results obtained from the intersection of these combined models also indicated an increase in the extent of this land from 603 square kilometers in 2020 to 930 square kilometers in 2040.

**Conclusion:** The continuous growth of built-up land in this basin can lead to the destruction of environmental resources and pose threats to ecosystems. The findings of this study provide relevant managers with valuable insights for optimal management of future conditions and the provision of necessary infrastructure.

**Keywords:** Land Use/Cover, Built-Up Land, Markov Chain, Cellular Automata, Multi-Criteria Decision Analysis (MCDM), Aras River watershed.

**Citation:** Boulaghi, S., Afsahi, H., Minaei, M., Land Use/Cover Change Modeling with Emphasis on Built-Up Land Growth with the Help of CA-Markov Model Integration and Multi-Criteria Decision Analysis Based on GIS.(Case Study: Aras River Watershed), *Iran J Remote Sens GIS*. 16(2):137-158.

\* Corresponding Author: m.minaei@um.ac.ir  
DOI: <https://doi.org/10.48308/gisj.2024.233751.1186>

Received: 2023.11.11  
Accepted: 2023.12.25



Copyright: © 2024 by the authors. Submitted for possible open access publication under the terms and conditions of the Creative Commons Attribution (CC BY) license <https://creativecommons.org/licenses/by/4.0/>.

# مدل‌سازی تغییرات کاربری / پوشش اراضی با تأکید بر رشد اراضی انسان‌ساخت به کمک تلفیق مدل CA-Markov و تحلیل‌های تصمیم‌گیری چندمعیاره مبتنی بر GIS (مطالعه موردی: حوضه آبریز رودخانه ارس)

صادق بولاقی<sup>۱</sup>، حانیه افصحی<sup>۱</sup>، مسعود مینائی<sup>۱\*</sup>

مقاله پژوهشی

**چکیده**

**ساخته و هدف:** در سالیان اخیر افزایش جمعیت جهان و گسترش شهرنشینی، به ایجاد تغییرات گسترده‌ای در کاربری و پوشش اراضی منجر شده است. این فرایند پیامدهای زیان‌بار متعددی مانند افزایش دمای سطح زمین، جنگل‌زدایی و بیابان‌زایی، کاهش کیفیت خدمات اکوسيستمی، کاهش تنوع زیستی و تهدید امنیت غذایی خواهد داشت. ازین‌رو پایش و مدل‌سازی این تغییرات ضروری است و می‌توان با مدیریت بهینه اراضی گام مهمی در بهره‌وری صحیح از متابع طبیعی و توزیع امکانات برداشت. نظر به این مهم که حوضه آبریز رودخانه ارس در طول زمان دچار تحولات بسیاری به خصوص در اراضی انسان‌ساخت شده است، تمرکز پژوهش حاضر بر مدل‌سازی تغییرات کاربری / پوشش اراضی در این حوزه است.

**مواد و روش‌ها:** در این راستا ابتدا نقشه‌های کاربری اراضی منطقه برای سال‌های ۲۰۰۰ و ۲۰۲۰ از پروژه Globaland30 مرکز ملی ژئوماتیک چین استخراج شدند. در ادامه نیز با توجه به سناریوی رشد اراضی انسان‌ساخت و به کمک روش‌های BWM و MEREC که از جمله روش‌های نوین تحلیل‌های تصمیم‌گیری چندمعیاره مبتنی بر GIS به شمار می‌روند، دو نقشه برای نمایش پتانسیل رشد اراضی انسان‌ساخت منطقه تهیه شده است. در انتها این دو نقشه و نقشه‌های کاربری اراضی و رویدادهای مدل-CA-CA-Markov را تشکیل داده و فرایند مدل‌سازی یکبار با ترکیب BWM+CA-Markov و بار دیگر با ترکیب MEREC+CA-Markov برای سال ۲۰۴۰ انجام شده است.

**نتایج و بحث:** بررسی نتایج نشان داد که در خروجی مدل ترکیبی BWM + CA-Markov و سعی اراضی انسان‌ساخت از ۶۰۳ کیلومتر مربع در سال ۲۰۲۰ به بیش از ۹۳۰ کیلومتر مربع در سال ۲۰۴۰ افزایش یافته است. در حالی که این رقم در خروجی مدل MEREC + CA-Markov حدود ۸۲۹ کیلومتر مربع است. از طرفی نتایج نهایی حاصل از اشتراک خروجی مدل‌های ترکیبی مذکور نیز نشان داد که وسعت این اراضی از ۶۰۳ کیلومتر مربع در سال ۲۰۲۰ به ۹۳۰ کیلومتر مربع در سال ۲۰۴۰ افزایش خواهد یافت.

**نتیجه‌گیری:** رشد فراینده اراضی انسان‌ساخت در این حوضه می‌تواند به تخریب منابع زیست‌محیطی و تهدید اکوسيستم منجر شود. نتایج این پژوهش مدیران مربوطه را در راستای مدیریت بهینه شرایط پیش رو و فراهم آوردن زیرساخت‌های مقتضی باری می‌رساند.

**واژه‌های کلیدی:** کاربری / پوشش اراضی، اراضی انسان‌ساخت، زنجیره مارکوف، سلول‌های خودکار، تحلیل‌های تصمیم‌گیری چندمعیاره (MCDM)، حوضه آبریز رودخانه ارس.

**سمت**

- دانشجویی کارشناسی ارشد گروه جغرافیا دانشگاه فردوسی مشهد، آزمایشگاه علم / سیستم اطلاعات جغرافیایی و سنجش از دور، دانشگاه فردوسی مشهد، مشهد، ایران
- دانشیار گروه جغرافیا دانشگاه فردوسی مشهد، آزمایشگاه علم / سیستم اطلاعات جغرافیایی و سنجش از دور، دانشگاه فردوسی مشهد، مشهد، ایران

استناد: بولاقی، ص.، افصحی، ح.، مینائی، م.، مدل‌سازی تغییرات کاربری / پوشش اراضی با تأکید بر رشد اراضی انسان‌ساخت به کمک تلفیق مدل CA-Markov و تحلیل‌های تصمیم‌گیری چندمعیاره مبتنی بر GIS (مطالعه موردی: حوضه آبریز رودخانه ارس، نشریه سنجش از دور و GIS ایران، سال ۱۶، شماره ۲، تابستان ۱۴۰۳-۱۵۸، ۱۴۰۳-۱۳۷).



آوردن زیرساخت‌های مورد نیاز یاری می‌رساند و از گذشته تا کنون یکی از اصلی‌ترین راه حل‌های این چالش، قلمداد می‌شود (Zarandian et al., 2018). امروزه روش‌های مبتنی بر سنجش از دور<sup>۳</sup> و سیستم اطلاعات جغرافیایی (GIS)<sup>۴</sup> از جمله روش‌های کارآمد برای مدل‌سازی تغییرات LULC به شمار می‌روند (Gurbuz & Cilek, 2023). تصاویر چندماهه ماهواره‌ای و تحلیل‌های تصمیم‌گیری چندمعیاره (MCDM)<sup>۵</sup> مبتنی بر GIS می‌توانند در زمینه مورد بحث سیار کارساز باشند (Rahman & Szabó, 2022). از طرفی یکی از مدل‌های منطبق بر سنجش از دور و GIS که از اعتبار بسیار بالایی در زمینه مدل‌سازی تغییرات CA-Markov LULC برخوردار است، مدل ترکیبی CA-Markov است (Zhang et al., 2023). از این‌رو مطالعات زیادی با بهره‌مندی از این مدل انجام شده است. اما غالباً مطالعات انجام‌شده بر مدل‌سازی تغییرات LULC پیرامون شهرها تمرکز داشته و مطالعات اندکی به کلیت حوضه‌های آبریز پرداخته‌اند. از جمله این مطالعات می‌توان به (Hua, 2017) اشاره کرد که در آن با استفاده از همین مدل و تصاویر چندماهه ماهواره‌ای Landsat تغییرات LULC حوضه آبریز رودخانه مالاکا<sup>۶</sup> در کشور مالزی را برای سال ۲۰۲۹ شبیه‌سازی کردند. نتایج این پژوهش نشان داد اراضی انسان‌ساخت در منطقه بهشت پژوهش نیز حاکی از رشد روزافزون اراضی انسان‌ساخت

## ۱- مقدمه

در دهه‌های اخیر جمعیت جهان بهشت رو به افزایش بوده و به تازگی نیز از مرز ۸ میلیارد نفر عبور کرده است (Ngo, 2023). یکی از پیامدهای رشد روزافزون جمعیت، تغییر در سیمای زمین است که در قالب تغییرات کاربری/پوشش زمین (LULC)<sup>۷</sup> ظاهر می‌شود (Shukla et al., 2018). علاوه‌بر رشد جمعیت، گسترش شهرنشینی نیز به عنوان دیگر عامل محرك وقوع این تغییرات شناخته می‌شود (Latue & Rakuasa, 2023). از این‌رو می‌توان گفت که تغییرات LULC از فرایندی زمانمند و متأثر از فعالیت‌های انسانی تبعیت می‌کند که تعاملات بین انسان و محیط پیرامون آن را نشان می‌دهد (Chen et al., 2022). این فرایند می‌تواند در مقیاس محلی تا جهانی پیامدهای زیان‌باری همچون افزایش دمای سطح زمین (Pertuack & Latue, 2023)، جنگل‌زدایی و بیابان‌زایی (Minaei & Kainz, 2016)، کاهش کیفیت خدمات اکوسيستم (Li et al., 2022)، کاهش تنوع زیستی (Shah et al., 2023)، تخریب منابع طبیعی (Mostafazadeh & Talebi khiavi, 2022) و تهدید امنیت غذایی (Talebi khiavi et al., 2022) را به بار آورد. در این بین، حوضه‌های آبریز یکی از مناطق درگیر با این مسئله به شمار می‌روند که تغییر LULC در آن عموماً به صورت کاهش وسعت اراضی مرتعی، جنگلی و زراعی و افزایش اراضی بایر و انسان‌ساخت ظاهر می‌شود (Xiao et al., 2023). سهم عمده‌ای از تغییرات LULC در حوضه‌های آبریز ناشی از گسترش شهرنشینی و اراضی انسان‌ساخت است که می‌تواند اکوسيستم آن منطقه را تحت الشعاع قرار دهد (Sohail et al., 2023). در این راستا و به منظور دستیابی به اهداف توسعه پایدار و کاهش تلفات منابع طبیعی در این حوضه‌های آبریز، مدیریت کاربری و پوشش اراضی بسیار ضروری بوده و به چالشی مهم برای متولیان حوزه مربوطه تبدیل شده است (Christensen & Jokar Arsanjani, 2020). گفتنی است که مدل‌سازی زمانی-مکانی تغییرات LULC مدیران مربوطه را در راستای فراهم

1. Land Use Land Cover
2. Remote Sensing
3. Geographic Information System
4. Multi-Criteria Decision Analysis
5. Malacca
6. Jeongal

و مدل CA-Markov تغییرات LULC حوضه آبریز نکارود در گیلان را برای سال ۲۰۳۰ شبیه‌سازی کردند. نتایج حاکی از افزایش ۳۴ درصدی اراضی انسان‌ساخت بود. در همین زمینه کریم‌زاده مطلق و همکاران (KarimzadehMotlagh et al., 2022) با استفاده از مدل پادشاهی تغییرات LULC حوضه آبریز رودخانه زاینده‌رود را برای سال‌های ۲۰۳۰ و ۲۰۵۰ شبیه‌سازی کردند. نتایج نشان داد که فعالیت‌های شهری و صنعتی در منطقه بهشت در حال افزایش است که این امر می‌تواند تهدیدی جدی برای اکوسیستم منطقه باشد. مطالعه مکرم و فام (Mokarram & Pham, 2023)، در حوضه آبریز دریاچه بختگان از نمونه‌های احیر مطالعاتی است که با استفاده از مدل CA-Markov و داده‌های ماهواره‌ای Landsat در ایران انجام شده است. در این پژوهش محققان که به پیش‌بینی تغییرات کاربری اراضی در سال ۲۰۴۰ پرداخته‌اند، نتیجه این مطالعه نشان داد کاربری‌های جنگلی و کشاورزی روند کاهشی داشته و در عوض اراضی بایر و انسان‌ساخت از روندی افزایشی برخوردار بوده که هشداری مهم در خصوص احتمال بروز خشکسالی در منطقه است.

بررسی پیشینهٔ پژوهش نشان می‌دهد که اکثر مطالعاتی که در این زمینه انجام شده در مقیاس یک حوضه آبریز داخلی و کوچک بوده است؛ اما پژوهش حاضر سعی دارد با ارائه رویکردی کارآمد تغییرات LULC حوضه آبریز رودخانه ارس به عنوان یک حوضه بزرگ و مهم مرزی کشور را برای سال ۲۰۴۰ مدل‌سازی کند. در این راستا از مدل‌های BWM<sup>۱</sup> و MCDM<sup>۲</sup> که از روش‌های نوین تحلیل‌های MEREC<sup>۳</sup> مبتنی بر GIS هستند نیز استفاده شده است. در ادامه منطقه مورد مطالعه، داده‌ها و روش انجام پژوهش، معیارهای تصمیم‌گیری، روش‌های تلفیق داده‌ها و نتایج ارزیابی آن‌ها ارائه شده است.

1. Citarum

2. Selangor

3. Mahi

4. Best-Worst Method

5. Method Based on the Removal Effects of Criteria

در منطقه بود. در همین راستا، يولیانتو و همکاران (Yulianto, Maulana, & Khomarudin, 2018) مذکور برای شبیه‌سازی تغییرات اراضی حوضه آبریز رودخانه سیتاروم<sup>۴</sup> در اندونزی استفاده کردند. نتایج این پژوهش نیز نشان داد که تا سال ۲۰۵۰ سطوح انسان‌ساخت در این حوضه به طور چشمگیری افزایش خواهد یافت. در طرف مقابل کاهش محسوسی در اراضی جنگلی منطقه قابل مشاهده بود. در نمونه‌ای دیگر (Camara et al., 2020) در حوضه آبریز سلانگور<sup>۵</sup> در مالزی با تکیه بر مدل CA-Markov و نقشه‌های زمانی ۲۰۱۵، ۲۰۰۶ LULC منطقه برای سال‌های ۱۹۹۷، ۲۰۲۴ و ۲۰۳۲ ضمن پایش تغییرات اراضی منطقه، روند این تغییرات منطقه را به ترتیب برای سال‌های ۲۰۳۲ و ۲۰۲۴ مدل‌سازی کردند. ایشان دریافتند که در آینده اراضی انسان‌ساخت منطقه به طرز چشمگیری افزایش خواهد داشت و به تبع آن، مساحت جنگلی در حوضه گرمسیری کاهش خواهد یافت. به تازگی نیز کیسامبا و لی (Kisamba & Li, 2023)، در تحقیق خود به شبیه‌سازی تغییرات LULC حوضه آبریز ماهی<sup>۶</sup> در ایالت راجستان کشور هند پرداختند. ایشان با به کارگیری مدل CA-Markov و تحلیل‌های تصمیم‌گیری چندمعیاره GIS دریافتند که در بازه زمانی بین سال‌های ۲۰۲۰ تا ۲۱، ۲۰۳۰ ۲۱ کیلومتر مربع به وسعت اراضی انسان‌ساخت پیرامون این حوضه اضافه خواهد شد.

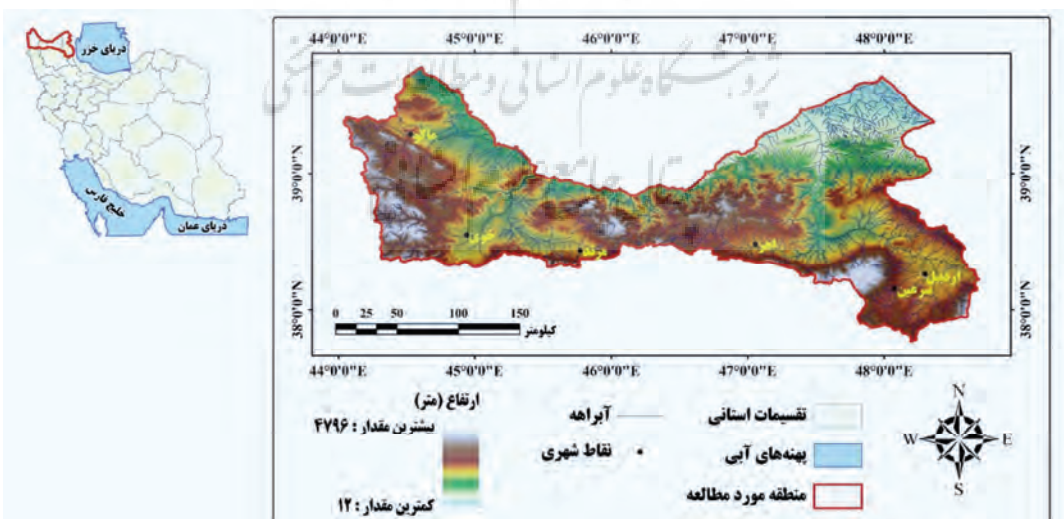
در ایران نیز مطالعاتی در این زمینه انجام شده است، از جمله پژوهش کوروش‌نیا و همکاران (Kourosh et al., 2020)، نمونه‌ای از چنین مطالعاتی است که در آن از مدل مورد بحث برای مدل‌سازی تغییرات کاربری و پوشش اراضی جزیره قشم (به عنوان یک حوضه مستقل) در سال ۱۴۰۴ استفاده کرده است. یافته‌های این مطالعه نتایجی مبتنی بر کاهش وسعت جنگل‌های حرا و افزایش وسعت اراضی انسان‌ساخت منطقه ارائه داد. همسو با این مطالعه توانگر و همکاران (Tavangar et al., 2021) از تصاویر ماهواره‌ای Landsat در سال‌های ۲۰۰۰ و ۲۰۱۴

میانگین سالانه دمای آن کمتر است و از مناطق با اقلیم سردسیر کشور به حساب می‌آید (Aalijahan et al., 2021). رودخانه‌های ارس، کلیبرچای و آغچای عده‌های این منطقه را تشکیل می‌دهند. خشکسالی و برداشت بیش از حد از منابع آبی سبب کمبود منابع آبی در این منطقه شده است (Hajjihoseini et al., 2023). به لحاظ ذخایر معدنی نیز این حوضه منابع غنی از مس، آهن، آلومینیوم، سرب و روی را در اختیار دارد (Nasehi et al., 2013). این منابع معدنی نقش بسزایی در توسعه اقتصادی و صنعتی این منطقه داشته و سبب رونق تولید و اشتغال‌زایی در این منطقه شده است (Geranian, 2022). یکی از پیامدهای اصلی چنین وضعیتی گسترش شهرنشینی است، آمارها نشان می‌دهد که حوضه آبریز رودخانه ارس، یکی از مناطق پرجمعیت در ایران است و تخمین زده می‌شود که تا سال ۱۴۰۱ بیش از پنج میلیون نفر در این منطقه سکنا گریده‌اند. مناطق شهری همچون اردبیل، اسفراین، اهر، خوی، ماسکو و مرند و همچنین مناطق روستایی فراوانی در این حوضه واقع شده‌اند (Aslami & Ghorbani, 2018).

## ۲- مواد و روش‌ها

### ۱- موقعیت منطقه مورد مطالعه

حوضه آبریز رودخانه ارس، مجموعاً ۲۲۰ ۱۰۰ کیلومترمربع وسعت دارد که از این مقدار، ۳۹۵۳۴ کیلومترمربع در کشور ایران، ۲۳۰ ۹۲ کیلومترمربع در خاک ترکیه و مابقی آن در دو کشور ارمنستان و آذربایجان واقع شده است (Mustafa & Ghasemlounia, 2021). منطقه مورد مطالعه این پژوهش قسمت جنوبی این حوضه است که با مختصات جغرافیایی ۴۴ درجه و ۱ دقیقه و ۴۲ ثانیه تا ۴۰ درجه و ۴۲ دقیقه و ۳۳ ثانیه طول شرقی و ۳۷ درجه و ۴۶ دقیقه و ۱۲ ثانیه تا ۳۹ درجه و ۴۷ دقیقه و ۷ ثانیه عرض شمالی در شمال غرب کشور ایران واقع شده است (شکل ۱). این حوضه از نظر تقسیمات سیاسی ایران دربرگیرنده بخش‌هایی از استان‌های آذربایجان غربی، آذربایجان شرقی و اردبیل می‌شود. توپوگرافی حوضه آبریز رودخانه ارس شامل مناطق مسطح و کوهستانی است که به عنوان اراضی کشاورزی و دامپروری استفاده می‌شود (Sanakhan et al., 2020). قله‌های سبلان، هرم داغ، قیه و قره داش از ارتفاعات شاخص این منطقه بهشمار می‌روند (Moradi & Sharifi, 2023). از آنجاکه حوضه آبریز رودخانه ارس در عرض‌های جغرافیایی بالا و ارتفاع زیاد واقع شده است،



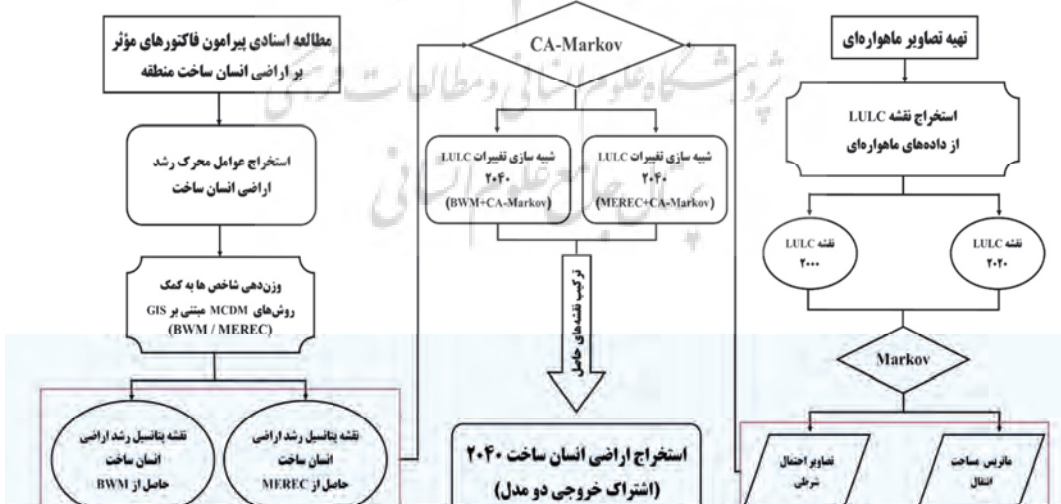
شکل ۱. منطقه مورد مطالعه.

بیشترین دقت، با بر هم‌گذاری خروجی‌های حاصل از این دو مدل و استخراج پیکسل‌های مشترک، اراضی انسان ساخت این حوضه در سال ۲۰۴۰ واکاوی شده است. شایان ذکر است که الگوریتم‌های فوق در محیط نرم‌افزار TerrSet پیاده‌سازی شده است. فرایند انجام پژوهش در شکل ۲ آمده است. جزئیات داده‌ها و مدل‌های مورد استفاده در این پژوهش در ادامه تشریح شده است.

**۲-۱- عوامل محرک رشد اراضی انسان ساخت**  
در این بخش از پژوهش به‌منظور تعیین عوامل محرک تغییرات LULC (تحت سناریوی رشد اراضی انسان ساخت) پس از مطالعات اسنادی و کتابخانه‌ای انجام شده پیرامون موضوع مورد بحث، فاکتورهای فاصله از گسل (Rabby et al., 2022)، فاصله از جاده‌ها (Zhang et al., 2021)، فاصله از مناطق صنعتی (Chen et al., 2022)، فاصله از اراضی بایر (Alsharif et al., 2022)، فاصله از اراضی کشاورزی (Zarandian et al., 2022)، فاصله از اراضی انسان ساخت (Vu & Shen, 2023)، فاصله از اراضی انسان ساخت (Arif et al., 2023)، شبیه (Vaddiraju et al., 2023) و ارتفاع (et al., 2023) استخراج شده‌اند.

## ۲-۲- داده‌ها و روش‌شناسی پژوهش

در این پژوهش که با هدف مدل‌سازی تغییرات کاربری/پوشش اراضی در حوضه آبریز رودخانه ارس انجام شده است، ابتدا با بررسی اسناد و منابع موجود در کتابخانه‌ها، عوامل محرک رشد اراضی انسان ساخت به‌عنوان سناریوی مدل‌سازی در منطقه مورد مطالعه شناسایی شدند. در ادامه نقشه‌های هر یک از این شاخص‌ها در محیط GIS تهیه شد. سپس با استفاده از روش BWM و روش MERERC که از روش‌های نوآورانه تصمیم‌گیری چندمعیاره هستند، معیارها وزن‌دهی شد و با تلفیق لایه‌ها در GIS، دو نقشه برای پتانسیل رشد اراضی انسان ساخت تولید شد. یکی از ورودی‌های مورد نیاز برای انجام این پژوهش نقشه‌های چندزمانه LULC است که در این مطالعه از نقشه‌های LULC پروژه Globeland30 استفاده شده است. پس از تهیه ورودی‌های لازم، برای اجرای مدل CA-Markov، یکبار شبیه‌سازی تغییرات LULC با ترکیب BWM + CA-Markov و بار دیگر با ترکیب MEREC + CA-Markov برای سال ۲۰۴۰ انجام شد. در انتها نیز به‌منظور دستیابی به



شکل ۲. فرایند روش‌شناسی پژوهش.

## ۲-۲-۲- نقشه‌های LULC

یکی دیگر از ورودی‌های مورد نیاز برای پایش و مدل‌سازی تغییرات کاربری/پوشش اراضی حوضه آبریز رودخانه ارس، نقشه‌های LULC منطقه برای سال‌های ۲۰۰۰ و ۲۰۲۰ است (شکل ۴). در پژوهش پیش رو برای تهیه این نقشه‌ها از پروژه Globeland30<sup>۱</sup> که مرکز ملی ژئوماتیک چین (NGCC<sup>۲</sup>) ارائه کرده، استفاده شده است (Shafizadeh-Moghadam et al., 2019).

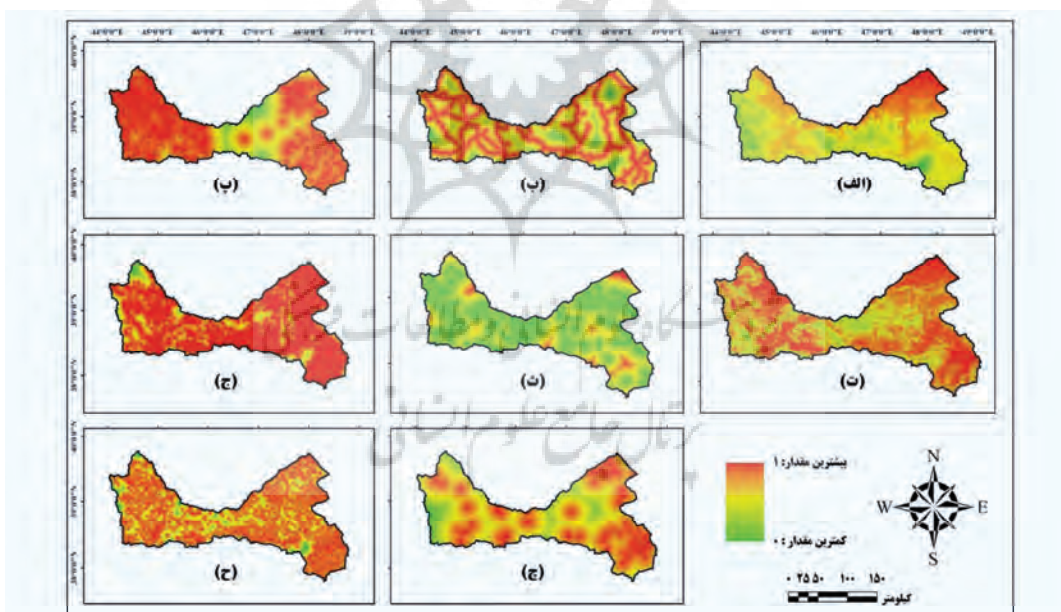
(جدول ۱) اطلاعات تصاویر ماهواره‌ای مورد استفاده برای تهیه این نقشه‌ها را نشان می‌دهد. صحت کلی<sup>۳</sup> این نقشه‌ها ۸۰/۳٪ گزارش شده است (Chen et al., 2015)، که برای منطقه وسیعی مانند حوضه آبریز رودخانه ارس دقت مطلوبی به نظر می‌رسد.

با توجه به ماهیت متفاوت معیارها و نظر به اینکه روش‌های BWM و MEREC فقط قابلیت اجرا بر روی معیارهای یکپارچه را دارند، داده‌ها باید نرمال شوند. در اینجا پس از تهیه لایه دیجیتالی هر کدام از شاخص‌ها در محیط GIS ازتابع فازی Linear برای نرمال‌سازی آن‌ها استفاده شده است (شکل ۳). مطلوبیت هر شاخص به اندازه مقدادر حداکثر و حداقل آن است و مقدار پیکسل استانداردشده ( $ij$ ,  $x$ , بین «۰» و «۱») تعريف می‌شود. در این مطالعه برای معیار فاصله از گسل حداکثر مقدادر مطلوب است که بهصورت زیر بیان می‌شود:

$$X'_{ij} = (X_{ij} - X_{j}^{\min}) / (X_{j}^{\max} - X_{j}^{\min}) \quad (1)$$

برای سایر معیارها نیز حداقل مقدادر مطلوب است که بهصورت زیر بیان می‌شود:

$$X'_{ij} = 1 - (X_{ij} - X_{j}^{\min}) / (X_{j}^{\max} - X_{j}^{\min}) \quad (2)$$



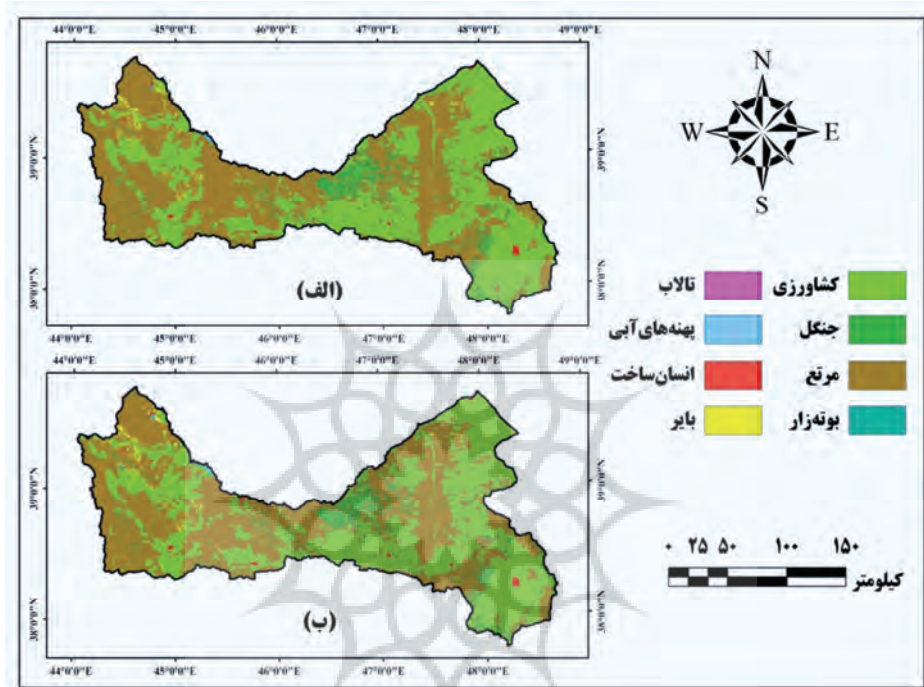
(الف) ارتفاع، (ب) فاصله از جاده، (پ) فاصله از اراضی بایر، (ت) شیب، (ث) فاصله از گسل، (ج) فاصله از اراضی کشاورزی، (چ) فاصله از مناطق صنعتی، (ح) فاصله از مناطق انسان‌ساخت

شکل ۳. لایه‌های نرمال‌سازی شده مورد استفاده در پیش‌بینی تغییرات کاربری اراضی سال ۲۰۲۰

1. National Geomatics Center of China  
2. overall accuracy

جدول ۱. اطلاعات مربوط به نقشه‌های کاربری/پوشش اراضی

| قدرت تفکیک مکانی (متر)<br>Spatial resolution | تاریخ اخذ تصویر<br>Date of acquisition | سنگنده<br>Sensor | ماهواره<br>Satellite | شماره تصویر<br>Image number |
|--|--|------------------|----------------------|-----------------------------|
| ۳۰   | ۲۰۰۰                                   | ETM              | Landsat 7            | ۱                           |
| ۳۰   | ۲۰۲۰                                   | OLI              | Landsat 8            | ۲                           |



شکل ۴. نقشه کاربری/پوشش اراضی منطقه مورد مطالعه. (الف) سال ۲۰۰۰، (ب) سال ۲۰۲۰

جدول ۲. اطلاعات مربوط به نقشه‌های کاربری/پوشش اراضی

| کاربری/پوشش اراضی<br>LULC2020 | کاربری/پوشش اراضی<br>LULC2000 |            | کاربری/پوشش اراضی<br>LULC |          |
|-------------------------------|-------------------------------|------------|---------------------------|----------|
|                               | مساحت<br>درصد<br>Area (km²)   | Percentage |                           |          |
| کشاورزی                       | ۳۵/۰۶                         | ۱۳۸۵۶/۴۸   | ۳۳/۸۶                     | ۱۳۳۴۸/۷۸ |
| جنگل                          | ۵/۳۵                          | ۲۱۳۵/۹۲    | ۵/۴۵                      | ۲۱۷۲/۹۱  |
| مرتع                          | ۵۶/۳۲                         | ۲۲۲۳۱/۲۹   | ۵۸/۳۶                     | ۲۳۰۴۲/۳۵ |
| بوقظار                        | ۰/۱۶                          | ۶۴/۷۲      | ۰/۱۸                      | ۷۵/۲۹    |
| قالاب                         | ۰/۰۲                          | ۱۰/۸۷      | ۰/۰۱                      | ۷/۳۵     |
| پنهانه‌های آبی                | ۰/۳۷                          | ۱۴۷/۵۹     | ۰/۲۴                      | ۹۹/۳۸    |
| انسان ساخت                    | ۱/۵                           | ۶۰۳/۹۸     | ۰/۷۰                      | ۲۷۹/۴۷   |
| باير                          | ۱/۱۶                          | ۴۷۷/۰۴     | ۱/۱۵                      | ۴۶۹/۱۴   |

**مرحله ۴.** در این قسمت، تصمیم‌گیرنده همان فرایند مرحله ۳ را برای بدترین معیار انجام می‌دهد. نتیجه مقایسه زوجی معیارها در این مرحله، برداری به نام Other-to-worst vector را تشکیل می‌دهد که به صورت  $A_W = (a_{1W}, a_{2W}, \dots, a_{nW})^T$  نمایش داده می‌شود. در این بردار،  $a_jw$  نشان‌دهنده ارجحیت معیار (j) نسبت به بدترین معیار (W) است که  $a_{ww}=1$ .

**مرحله ۵.** وزن‌دهی بهینه معیارها ( $W_1^*, W_2^*, \dots, W_n^*$ ). در این مرحله به منظور تعیین وزن بهینه  $\frac{w_j}{w_w} = a_{jw}$  و  $\frac{w_B}{w_j} = a_{Bj}$  هر کدام از معیارها، زوچ‌های  $a_{Bj}$  و  $a_{jw}$  تشکیل می‌شود. سپس برای برآورده کردن این شرایط در همه معیارها باید راه حلی پیدا شود تا عبارت  $\left| \frac{w_j}{w_w} - a_{Bj} \right|$  و  $\left| \frac{w_B}{w_j} - a_{jw} \right|$  را برای همه معیارهایی که حداقل شده است، به حداکثر برساند. با توجه به مثبت بودن وزن‌های معیارها می‌توان مدل را به صورت رابطه (۳) فرموله کرد.

$$\min \max_j \left| \frac{w_B}{w_j} - a_{Bj} \right|, \left| \frac{w_j}{w_w} - a_{jw} \right| \quad (3)$$

s.t.:

$$\sum_j w_j = 1$$

$$w_j \geq 0, \text{ for all } j$$

پس به دست آوردن مقادیر بهینه، در انتها باید نرخ سازگاری در روش BWM محاسبه شود. نسبت سازگاری BWM با استفاده از  $\xi^*$  و رابطه (۴) محاسبه می‌شود (Minaei et al., 2021). مقدار  $\xi^*$  بیشتر نشان‌دهنده نرخ سازگاری بیشتر است. شاخص سازگاری در جدول ۳ ارائه شده است.

$$\text{Consistency Ratio} = \frac{\xi^*}{\text{Consistency index}} \quad (4)$$

### BWM - ۲-۲-۳

یکی از روش‌های MCDM مبتنی بر GIS که مورد توجه پژوهشگران قرار گرفته است روش BWM است. در پژوهش کنونی از این مدل برای وزن‌دهی عوامل محرك رشد اراضی انسان‌ساخت استفاده شده است. برتری این روش نسبت به روش‌های مرسوم مانند AHP مقایسه‌های زوجی و پیچیدگی‌های کمتر آن است (Minaei et al., 2021). در این روش از دو بردار مقایسه زوجی برای تعیین وزن معیارها استفاده می‌شود. ابتدا بهترین (مثلاً مطلوب‌ترین، مهم‌ترین) و بدترین (مثلاً حداقل مطلوب‌ترین، کم‌همیلت‌ترین) معیار را تصمیم‌گیرنده شناسایی می‌کند و پس از آن، مقایسه‌های زوجی بین هر دو از این دو معیار (بهترین و بدترین) و سایر معیارها انجام می‌شود. در ادامه نیز از یک مدل minmax غیرخطی برای شناسایی وزن‌ها استفاده می‌شود (Rezaei, 2015).

**مرحله ۱.** شناسایی و استخراج معیارهای تصمیم‌گیری.

**مرحله ۲.** انتخاب بهترین و بدترین معیار از میان معیارهای موجود.

**مرحله ۳.** مقایسه زوجی معیارها. در این راستا، تصمیم‌گیرنده میزان ارجحیت بهترین معیار را نسبت به سایر معیارها با اعداد ۱ تا ۹ مشخص می‌کند. در اینجا عدد ۹ نشان‌دهنده کمترین و عدد ۱ نشان‌دهنده بالاترین ارجحیت است. نتیجه این مقایسه، برداری به نام Best-to-others vector را تشکیل می‌دهد که به صورت  $A_B = (a_{B1}, a_{B2}, \dots, a_{Bn})$  نمایش داده می‌شود. در این بردار،  $a_{Bj}$  نشان‌دهنده ارجحیت بهترین معیار (B) نسبت به معیار (j) است که  $a_{BB}=1$ .

جدول ۳. شاخص سازگاری در روش BWM

| $a_{Bw}$     | ۱    | ۲    | ۳    | ۴    | ۵    | ۶    | ۷    | ۸    | ۹    |
|--------------|------|------|------|------|------|------|------|------|------|
| شاخص سازگاری | ۰/۰۰ | ۰/۴۴ | ۱/۰۰ | ۱/۶۳ | ۲/۳۰ | ۳/۰۰ | ۳/۷۲ | ۴/۴۷ | ۵/۲۳ |

منبع: Rezaei, 2015

گزینه‌ها در این مرحله اعمال می‌شود. با توجه به مقادیر نرمال به دست آمده از مرحله قبل، می‌توان اطمینان حاصل کرد که مقادیر کوچک‌تر  $n_{ij}$  مقادیر بیشتری از عملکرد (Si) را همراه دارد. برای این محاسبه از رابطه زیر استفاده می‌شود:

$$S_i = \ln \left( 1 + \left( \frac{1}{m} \sum_j |\ln(n_{ij})| \right) \right) \quad (7)$$

#### مرحله ۴: محاسبه عملکرد گزینه‌ها با حذف اثرات معیارها (S)

در این گام با حذف هریک از معیارها، عملکرد گزینه‌ها محاسبه می‌شود. در این مرحله از معیار لگاریتمی مشابه مرحله قبل استفاده می‌کنیم. تفاوت بین این مرحله و مرحله قبل این است که عملکرد گزینه‌ها براساس حذف هر معیار به طور جداگانه محاسبه می‌شود؛ بنابراین، ما مجموعه‌ای از عملکردهای مرتبط با  $m$  معیارها را داریم. برای محاسبات این مرحله از رابطه زیر استفاده می‌شود:

$$\delta_{ij} = \ln \left( 1 + \left( \frac{1}{m} \sum_{k, k \neq j} |\ln(n_{ik})| \right) \right) \quad (8)$$

#### مرحله ۵: محاسبه مجموع انحرافات مطلق (E)

در این مرحله، اثر حذف معیار زرا براساس مقادیر به دست آمده از مرحله ۳ و مرحله ۴ محاسبه می‌شود. Ej اثر حذف معیار زرا نشان دهد. با استفاده از فرمول زیر مقادیر Ej محاسبه خواهد شد:

$$Ej = \sum_i |\delta_{ij} - s_i| \quad (9)$$

#### مرحله ۶: محاسبه وزن‌های نهایی (W)

در نهایت وزن هر معیار با استفاده از اثرات حذف (Ej) (مرحله ۵) محاسبه می‌شود. در ادامه،  $w_j$  مخفف وزن معیار ز است. برای محاسبه W از رابطه زیر استفاده می‌شود:

$$w_j = \frac{Ej}{\sum_k E_k} \quad (10)$$

#### MEREC - ۲-۲-۴ روش

یکی دیگر از روش‌های نوین تصمیم‌گیری چندمعیاره که در این مطالعه برای وزن‌دهی عوامل محرك رشد اراضی انسان ساخت به کار گرفته شده است، روش MEREC است. در این روش که کشاورز قرابایی و همکاران (Keshavarz-Ghorabae et al., 2021) معرفی کرده‌اند، اثرات حذف معیارها بر عملکرد گزینه‌ها بررسی می‌شود.

مراحل روش MEREC را می‌توان به صورت زیر خلاصه کرد:

#### مرحله ۱: تشکیل ماتریس تصمیم

یک ماتریس تصمیم در این مرحله ساخته می‌شود که امتیاز هر گزینه را در مورد هر معیار نشان می‌دهد. عناصر این ماتریس با  $x_{ij}$  نشان داده می‌شوند و این عناصر باید بزرگ‌تر از صفر باشند.

$$X = \begin{bmatrix} x_{11} & x_{12} & \dots & x_{1j} & \dots & x_{1m} \\ x_{21} & x_{22} & \dots & x_{2j} & \dots & x_{2m} \\ \vdots & \vdots & \ddots & \vdots & \ddots & \vdots \\ x_{i1} & x_{i2} & \dots & x_{ij} & \dots & x_{im} \\ \vdots & \vdots & \ddots & \vdots & \ddots & \vdots \\ x_{n1} & x_{n2} & \dots & x_{nj} & \dots & x_{nm} \end{bmatrix} \quad (5)$$

#### مرحله ۲: نرمال‌سازی داده‌ها

در این روش از نرمال‌سازی خطی برای بی‌بعد کردن عناصر ماتریس تصمیم استفاده می‌شود. عناصر ماتریس نرمال‌شده با  $n_{ij}$  نشان داده می‌شوند. اگر B مجموعه معیارهای سودمند را نشان دهد و H نشان‌دهنده مجموعه‌ای از معیارهای غیرسودمند باشد، می‌توان معادله زیر را برای نرمال‌سازی به کار برد:

$$n_{ij}^x = \begin{cases} \frac{\min_k x_{kj}}{x_{ij}} & \text{if } j \in B \\ \frac{x_{ij}}{\max_k x_{kj}} & \text{if } j \in H \end{cases} \quad (6)$$

#### مرحله ۳: محاسبه عملکرد کلی گزینه‌ها (Si)

در این مرحله یک اندازه‌گیری لگاریتمی با وزن معیارهای برابر برای به دست آوردن عملکرد کلی

مدل مکمل استفاده شود که در این پژوهش از مدل سلول‌های خودکار (CA) استفاده شده است. مدل CA یک مکانیسم پردازشی با فضای سلولی است که در آن سلول‌ها با یکدیگر ارتباط متقابل دارند و هریک دارای یک وضعیت (ارزش) هستند. در این مدل در هر دوره زمانی، وضعیت سلول‌ها با تأثیر از وضعیت سلول‌های همسایه و برخی قوانین، ممکن است تغییر کند و به وضعیت جدیدی برسد (Rakuasa et al., 2023). قوانین انتقال در مدل سلول‌های خودکار، موتور اصلی تغییرات در رفتار و آینده سلول‌ها را طی فرایند تکامل در مراحل زمانی مختلف مشخص می‌کنند (He et al., 2023). شایان ذکر است که در پژوهش کنونی، محدودیت‌های مکانی مناطق ساخته‌شده قبلی و پنهانه‌های آبی) و نتیجه تحلیل MCDM (نقشه شایستگی رشد اراضی انسان‌ساخت براساس عوامل محرك) قوانین انتقال در این مدل را تشکیل می‌دهند.

### ۳- نتایج و بحث

#### ۱- اولویت‌بندی عوامل محرك رشد اراضی انسان‌ساخت

در این مطالعه به منظور عوامل محرك رشد اراضی انسان‌ساخت در حوضه آبریز رودخانه ارس به ترتیب روش‌های BWM و MEREC به کار گرفته شده است. در هریک از این دو روش پس از شناسایی عوامل مؤثر، ضرایب وزنی عوامل براساس نظرات تیمی ۵ نفره متشکل از متخصصان حوزه علوم جغرافیایی و برنامه‌ریزی شهری تعیین شده است. نتایج وزن‌دهی شاخص‌ها در جدول ۴ آمده است. شایان ذکر است که شاخص سازگاری مدل BWM مقدار  $0.29 \pm 0.01$  به دست آمده است. نتایج نهایی حاصل از وزن‌دهی عوامل محرك رشد اراضی انسان‌ساخت نشان داد که در هر دو روش معیار فاصله از مناطق انسان‌ساخت بالاترین وزن و معیار ارتفاع پایین‌ترین وزن را به خود اختصاص می‌دهد.

#### ۲-۲-۵- مدل CA-Mar

در مطالعه کنونی به منظور مدل‌سازی تغییرات LULC حوضه آبریز رودخانه ارس برای سال ۲۰۴۰، از مدل ترکیبی CA-Markov استفاده شده است. پژوهش‌های Lu et al., 2023; Hishe et al., 2020; Samat, 2014 (Samat, 2014) کارایی این مدل را در زمینه مدل‌سازی زمانی-مکانی تغییرات LULC ارزیابی و صحبت آن را تأیید کرده‌اند. مدل یادشده از ترکیب مدل سلول‌های خودکار<sup>۱</sup> و زنجیره Markov تشکیل می‌شود که به عنوان روشی با پویایی زمانی-مکانی می‌تواند تغییرات LULC را در یک فضای دوبعدی شبیه‌سازی کند (Jana et al., 2022). زنجیره Markov زنجیره‌ای دنباله‌دار از فرایندهای تصادفی است که احتمال تغییر کاربری‌ها را از یک وضعیت به وضعیت دیگر، توسط ماتریس انتقال نشان می‌دهد (Xu et al., 2021). ماتریس احتمال انتقال به دست آمده، ماتریسی  $m \times m$  است و مقدار کاربری اراضی را که در بازه زمانی مورد نظر به یک کلاس اختصاص یافته است، تعیین می‌کند (Jones & Qin, 2022). رابطه زیر نحوه به دست آوردن این ماتریس را نشان می‌دهد:

$$P(i,j) = P(X(t+1) = j | X(t) = i) \quad (11)$$

در رابطه بالا،  $P(i,j)$  نشان‌دهنده احتمال رفتتن از وضعیت  $i$  به وضعیت  $j$  پس از یک گام زمانی است، نه  $n$  گام. البته معمولاً برای بررسی رفتار یک سیستم با استفاده از زنجیره‌های Markov، ماتریس احتمال انتقال به صورت مربعی آرایش داده می‌شود. این ماتریس، ماتریس تغییر وضعیت نامیده می‌شود. در این ماتریس، سطر  $i$  و ستون  $j$  نشان‌دهنده احتمال انتقال از وضعیت  $i$  به وضعیت  $j$  است. این ماتریس، معمولاً به صورت مربعی و به اندازه تعداد وضعیت‌های مختلف در زنجیره طراحی می‌شود. با توجه به اینکه خروجی Markov مدل هیچ مؤلفه مکانی وجود ندارد (Isinkaralar, Varol, & Yilmaz, 2022) برای تکمیل فرایند مدل‌سازی تغییرات LULC از یک

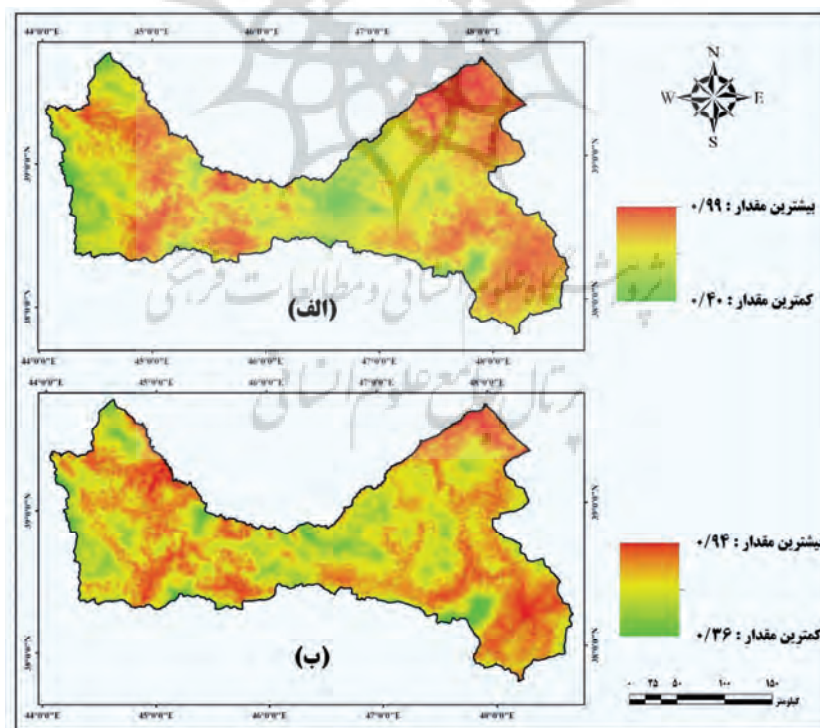
1. Cellular automata

است (شکل ۵). نتایج حاصل نشان می‌دهد که در خروجی مدل BWM شمال شرق منطقه به طور محسوسی از پتانسیل توسعه بیشتری نسبت به سایر مناطق برخوردار است که علت آن را می‌توان واقع شدن مناطق شهری و روستایی فراوان و اراضی زراعی در آن منطقه برشمودر. در طرف مقابل این پتانسیل در خروجی مدل MEREC در جنوب شرقی منطقه محسوس‌تر است. با این حال در هر دو مدل، امتداد شمال شرقی جنوب غربی و نواحی شرقی منطقه پتانسیل مناسبی برای رشد و توسعه اراضی انسان‌ساخت دارند.

پیش‌تر نیز وو و شن (Vu & Shen, 2021) و کاماراج و رنگاراجان (Kamaraj & Rangarajan, 2022)، در پژوهش خود معیار فاصله از مناطق انسان‌ساخت را به عنوان مهم‌ترین عامل محرك رشد اراضی انسان‌ساخت معرفی کردند و بالاترین ضریب اهمیت را برای آن قائل شدند. در ادامه به کمک لایه‌های GIS نرم‌افزاری شده معیارها برای سال‌های ۲۰۰۰ و ۲۰۲۰ (شکل ۳) و وزن‌های به دست‌آمده از نظرات خبرگان در جدول ۴، نقشهٔ پتانسیل رشد اراضی انسان‌ساخت منطقه، یکبار با استفاده از نتایج وزن‌دهی روش BWM و بار دیگر با استفاده از نتایج وزن‌دهی روش MEREC تولید شده

جدول ۴. نتایج وزن‌دهی عوامل محرك رشد اراضی انسان‌ساخت حوضه آبریز رودخانه ارس با استفاده از روش BWM و MEREC

| وزن‌ها (BWM) | وزن‌ها (MEREC) | ارتفاع | شیب  | فاصله از جاده‌ها | فاصله از زراعی | فاصله از اراضی باز | فاصله از مناطق انسان‌ساخت | فاصله از گسل | فاصله از مناطق صنعتی |
|--------------|----------------|--------|------|------------------|----------------|--------------------|---------------------------|--------------|----------------------|
| ۰/۰۵         | ۰/۱۰           | ۰/۲۸   | ۰/۰۸ | ۰/۱۶             | ۰/۱۸           | ۰/۱۳               | ۰/۰۲۰                     |              |                      |
| ۰/۰۵         | ۰/۰۷           | ۰/۳۰   | ۰/۱۰ | ۰/۱۳             | ۰/۱۸           | ۰/۱۳               | ۰/۰۴                      |              |                      |



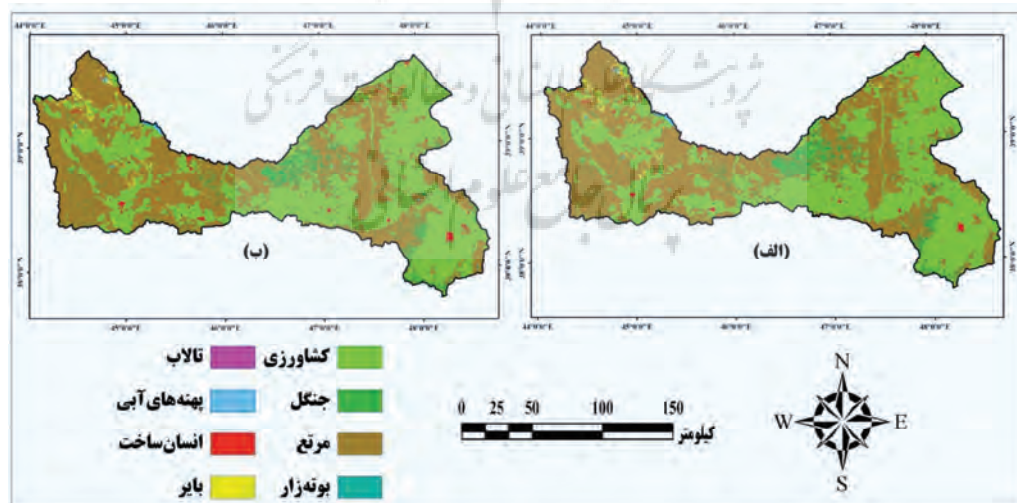
الف) خروجی مدل BWM ب) خروجی مدل MEREC  
شکل ۵. نقشه‌های پتانسیل رشد اراضی انسان‌ساخت ۲۰۲۰

هاییک از کاربری‌ها در سال ۲۰۴۰ به تفکیک مدل شبیه‌سازی در جدول ۶ آمده است. بررسی نتایج نشان می‌دهد که در خروجی مدل BWM + CA-Markov وسعت اراضی انسان‌ساخت از ۶۰۳ کیلومترمربع در سال ۲۰۲۰ به بیش از ۹۳۰ کیلومترمربع در سال ۲۰۴۰ افزایش یافته است. در حالی که این رقم در خروجی مدل MEREC + CA-Markov حدود ۸۲۹ کیلومترمربع است.

۲-۳- مدل‌سازی کاربری و پوشش اراضی سال ۲۰۴۰ در این قسمت از پژوهش با بهره‌مندی از نقشه‌های زمانی LULC سال ۲۰۰۰ و ۲۰۲۰ و منطقه مورد مطالعه (شکل ۴)، نقشه‌های پتانسیل رشد اراضی انسان‌ساخت (شکل ۵)، ماتریس تغییرات کمی کاربری‌ها (جدول ۵) و در نهایت اعمال مدل CA-Markov بر روی آن‌ها کاربری/پوشش اراضی حوضه آبریز رودخانه ارس برای سال ۲۰۴۰ شبیه‌سازی شده است (شکل ۶). مساحت

جدول ۵. ماتریس تغییرات کمی (احتمال انتقال) کاربری‌ها حاصل از زنجیره Markov در حدفاصل زمانی بین سال‌های ۲۰۰۰ تا ۲۰۲۰

| کاربری /<br>LULC | کشاورزی | جنگل   | مرتع   | بوتهزار | تالاب  | پهنه‌های آبی | انسان‌ساخت | باير    |
|------------------|---------|--------|--------|---------|--------|--------------|------------|---------|
| کشاورزی          | ۰/۹۶۷۴  | ۰/۰۰۹  | ۰/۰۱۶۲ | ۰/۰۰۰۱  | ۰/۰۰۰۰ | ۰/۰۱۳۶       | ۰/۰۰۰۸     | ۰/۰۰۰۸  |
| جنگل             | ۰/۰۱۲۸  | ۰/۸۶۶۵ | ۰/۱۱۶۳ | ۰/۰۰۰۰  | ۰/۰۰۰۴ | ۰/۰۰۱۵       | ۰/۰۰۰۲     | ۰/۰۰۰۲  |
| مرتع             | ۰/۰۳۶۵  | ۰/۰۱۰۵ | ۰/۹۳۹۰ | ۰/۰۰۰۷  | ۰/۰۰۰۲ | ۰/۰۰۱۷       | ۰/۰۰۰۵۸    | ۰/۰۰۰۵۶ |
| بوتهزار          | ۰/۱۴۵۶  | ۰/۰۰۱۵ | ۰/۲۰۸۰ | ۰/۶۴۴۴  | ۰/۰۰۰۰ | ۰/۰۰۰۳       | ۰/۰۰۰۳     | ۰/۰۰۰۳  |
| تالاب            | ۰/۰۰۰۰  | ۰/۰۱۴۱ | ۰/۰۳۶۰ | ۰/۶۴۶۳  | ۰/۰۰۱۵ | ۰/۲۵۱۵       | ۰/۰۰۱۶     | ۰/۰۵۰۵  |
| پهنه‌های آبی     | ۰/۰۷۳۳  | ۰/۰۰۳۶ | ۰/۰۵۳۱ | ۰/۰۰۰۰  | ۰/۰۰۰۲ | ۰/۸۶۲۸       | ۰/۰۰۱۵     | ۰/۰۰۵۴  |
| انسان‌ساخت       | ۰/۰۰۰۰  | ۰/۰۰۰۰ | ۰/۰۰۰۰ | ۰/۰۰۰۰  | ۰/۰۰۰۰ | ۰/۰۰۰۰       | ۱/۰۰۰۰     | ۰/۰۰۰۰  |
| باير             | ۰/۰۴۸۳  | ۰/۰۰۲  | ۰/۲۲۹۱ | ۰/۰۰۰۲  | ۰/۰۰۴۰ | ۰/۰۰۱۲       | ۰/۰۱۳۶     | ۰/۰۰۰۸  |



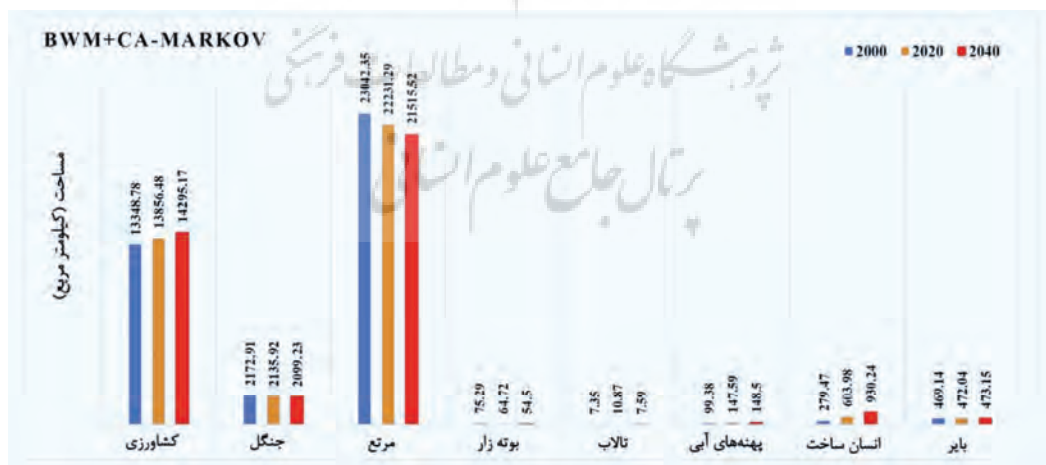
الف) خروجی مدل BWM + CA-Markov، ب) خروجی مدل MEREC + CA-Markov  
شکل ۶. کاربری/پوشش اراضی حوضه آبریز رودخانه ارس برای سال ۲۰۴۰

(بخشی که در کشور ترکیه واقع شده) انجام دادند نیز همین دو کاربری (انسان ساخت و کشاورزی) بیشترین توسعه را داشتند. در طرف مقابل هر دو مدل کاهش وسعت اراضی مرتعی و جنگل‌ها را پیش‌بینی کردند که نشان می‌دهد تغییرات LULC حوضه آبریز رودخانه ارس به عنوان یکی از مهم‌ترین تغذیه‌کننده‌های دریای خزر، نیازمند برنامه‌های حفاظتی و نظارتی بیشتری است و پایش الگوی این تغییرات در این منطقه بسیار ضروری به نظر می‌رسد.

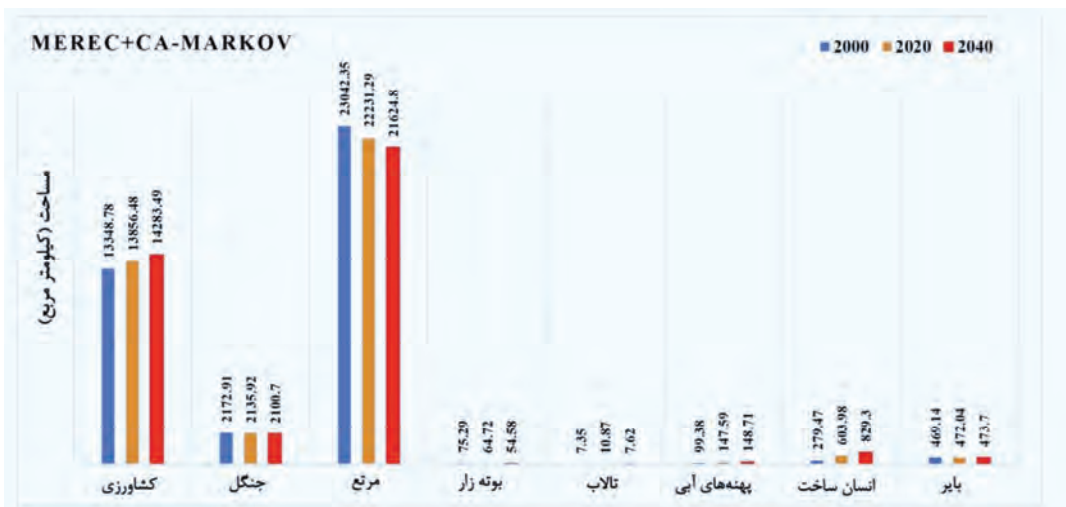
مقایسه روند تغییرات LULC سال ۲۰۲۰ با نتایج پیش‌بینی شده برای سال ۲۰۴۰ حاصل از مدل MERECA + CA-Markov در شکل‌های ۷ و ۸ نشان داده شده است. بررسی خروجی‌های این دو الگوریتم گویای آن است که علاوه‌بر اراضی انسان ساخت، اراضی کشاورزی منطقه نیز تا سال ۲۰۴۰ رشد محسوسی خواهد داشت. در پژوهشی که میرزایی و همکاران (Mirzaei et al., 2020) به منظور بررسی تغییرات LULC قسمتی از این حوضه

جدول ۶. مساحت کاربری/پوشش اراضی حوضه آبریز رودخانه ارس سال ۲۰۴۰

| مساحت<br>Area(km <sup>2</sup> ) |                 | مساحت<br>Area (km <sup>2</sup> ) |                    | کاربری/<br>پوشش |               |
|---------------------------------|-----------------|----------------------------------|--------------------|-----------------|---------------|
| MERECA + CA-Markov              | BWM + CA-Markov | کاربری/<br>پوشش<br>LULC          | MERECA + CA-Markov | BWM + CA-Markov | اراضی<br>LULC |
| ۷/۶۲                            | ۷/۵۹            | تالاب                            | ۱۴۲۸۳/۴۹           | ۱۴۲۹۵/۱۷        | کشاورزی       |
| ۱۴۸/۷۱                          | ۱۴۸/۵۰          | پهنه‌های آبی                     | ۲۱۰۰/۷۰            | ۲۰۹۹/۲۳         | جنگل          |
| ۸۲۹/۳۰                          | ۹۳۰/۲۴          | انسان ساخت                       | ۲۱۶۲۴/۸۰           | ۲۱۵۱۵/۵۲        | مرتع          |
| ۴۷۳/۷۰                          | ۴۷۳/۱۵          | بایر                             | ۵۴/۵۸              | ۵۴/۵۰           | بوته‌زار      |



شکل ۷. روند تغییرات LULC در حداقل زمانی بین سال‌های ۲۰۴۰ تا ۲۰۰۰ (خرجی مدل BWM + CA-Markov)



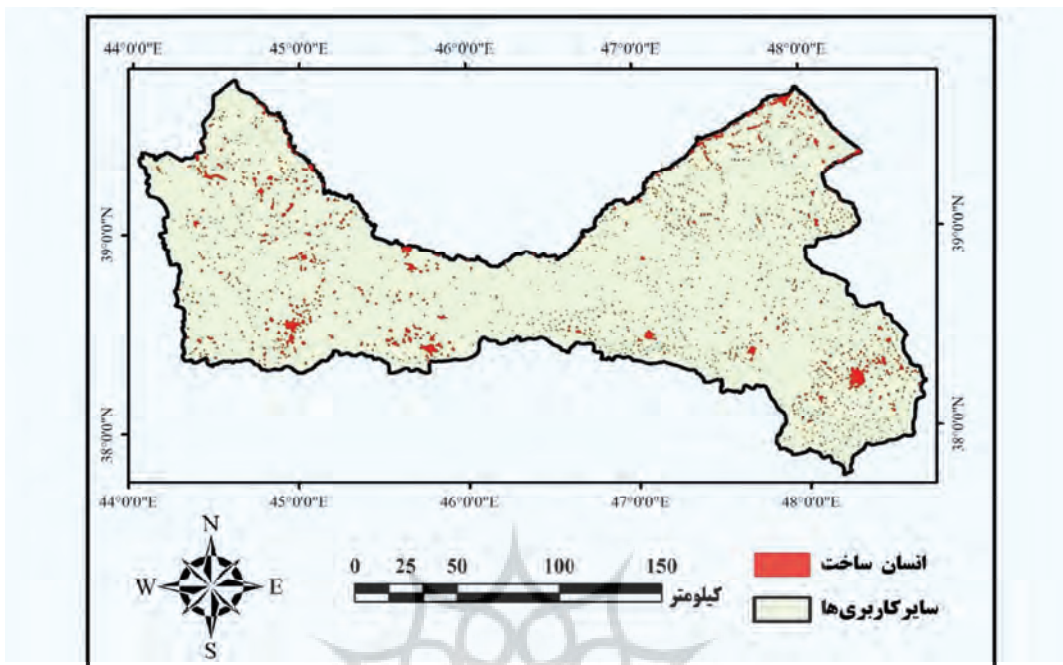
شکل ۸. روند تغییرات LULC در حداصل زمانی بین سال‌های ۲۰۰۰ تا ۲۰۴۰ (خروجی مدل MEREC + CA-Markov)

به لحاظ اقتصادی آورده بسیار چشمگیری برای منطقه دارد و سبب رونق بیش از پیش اشتغال زایی خواهد شد.

#### ۴- نتیجه‌گیری

امروزه تغییر کاربری و پوشش اراضی (LULC) به چالشی مهم در بسیاری از کشورها تبدیل شده است. این تغییرات مستقیماً بر اجزای محیط زیست و اکوسیستم منطقه اثر منفی می‌گذارد. در این راستا آگاهی از الگوی زمانی- مکانی تغییر کاربری‌ها در یک محیط طبیعی از مهم‌ترین مسائل در حوزه مدیریت منابع طبیعی و برنامه‌ریزی شهری به حساب می‌آید. مدل‌سازی تغییرات کاربری اراضی، یکی از ابزارهای مهم برای تحقق این مهم است. این فرایند به سازمان‌های مربوطه کمک می‌کند تا راهبردهای لازم برای آینده منطقه و مدیریت بهینه اراضی آن را اتخاذ کنند. در این بین یکی از مناطق درگیر با این مسئله که به واسطه جایگاه منطقه‌ای از مناطق حساس به شمار می‌رود حوضه آبریز رودخانه ارس است. بدین منظور پژوهش حاضر، به مدل‌سازی تغییرات کاربری اراضی حوضه آبریز رودخانه ارس در بازه زمانی ۲۰۲۰ تا ۲۰۴۰ LULC پرداخته است. برای نیل به هدف

۳-۳- توسعه اراضی انسان ساخت در سال ۲۰۴۰  
در این قسمت از پژوهش به منظور دستیابی بهترین نتیجه برای نمایش تغییرات اراضی انسان ساخت ۲۰۴۰ خروجی حاصل از اجرای دو مدل- BWM + CA-Markov و MEREC + CA-Markov (شکل ۶) با به کارگیری ابزارهای موجود در GIS با یکدیگر ترکیب شده و پیکسل‌هایی که توسط هر دو مدل به عنوان کاربری انسان ساخت شبیه‌سازی شده بودند، استخراج شده‌اند (شکل ۹). نتایج این تحلیل نشان داد که تا سال ۲۰۴۰، وسعت اراضی انسان ساخت به ۹۳۰ کیلومترمربع خواهد رسید. شایان ذکر است که رشد اراضی انسان ساخت در حوضه‌های آبریز به تخریب منابع زیست‌محیطی منجر خواهد شد و تهدیدی جدی برای اکوسیستم و محیط زیست آن خواهد بود (Sonu & Bhagyanathan, 2022). در تحقیقی که خشنود (Khoshnoodmotlagh et al., 2020) انجام دادند نیز به این نکته اشاره شده است که رشد بی‌رویه اراضی انسان ساخت در درازمدت بر هیدرولوژی حوضه آبریز ارس اثر خواهد گذاشت و سبب کاهش کمیت و کیفیت منابع آبی این حوضه خواهد شد. با این همه نمی‌توان نادیده گرفت که توسعه این اراضی



شکل ۹. اراضی انسان ساخت سال ۲۰۴۰

می‌تواند به کاهش تنوع زیستی، تخریب اکوسیستم‌ها، کاهش آب‌وهوا، خشکسالی و سیلاب‌های شدید منجر شود. زمینه اصلی انجام این پژوهش ارائه تحلیلی جامع برای کاهش پیامدهای شدید اقتصادی، اجتماعی و بوم‌شناسی ناشی از رشد اراضی انسان ساخت است. یافته‌های این پژوهش می‌تواند مدیران و متولیان محیط زیست و امور شهری را در راستای فراهم آوردن زیرساخت‌های لازم و تدوین سیاست‌های منطقه‌ای یاری رساند. شایان ذکر است که با توجه به مقیاس پژوهش، این پژوهش با محدودیت‌های قابل توجهی از جمله محدودیت پردازش سیستمی و عدم امکان استفاده از داده‌های غیررایگان مواجه بوده است. در آخر پیشنهاد می‌شود که در مطالعات آتی، ضمن بهره‌مندی از معیارهای تصمیم‌گیری جامع‌تر، نتایج الگوریتم مورد استفاده در این پژوهش با سایر الگوریتم‌های مدل‌سازی تغییرات LULC مقایسه شود تا دقیق نتایج بیش از پیش افزایش یابد.

یادشده روش‌های BWM و MEREC که از روش‌های به روز تصمیم‌گیری چندمعیاره (MCDM) هستند با CA-Markov ترکیب شده‌اند. در واقع دو نقشه برای سال ۲۰۴۰ تولید شده است: یک نقشه با ترکیب BWM + CA-Markov و نقشه دیگر با ترکیب MEREC + CA-Markov. هدف از انجام این کار حصول بهترین نتیجه برای مدل‌سازی رشد اراضی انسان ساخت است. نتایج حاصل از برهم‌گذاری پیکسل‌های مشترک اراضی انسان ساخت دو مدل، حاکی از رشد روزافزون این کاربری در منطقه است. رشد ادامه‌دار اراضی انسان ساخت در حوضه آبریز رودخانه ارس به نابودی و یا کاهش تنوع گیاهی و جانوری و همچنین تخریب برخی گونه‌های گیاهی در این منطقه منجر می‌شود. از طرفی رشد بی‌رویه این اراضی می‌تواند تأثیرات محرکی بر اکوسیستم این حوضه نیز داشته باشد، چراکه برای ساخت و ساز این اراضی اغلب از منابع آبی، جنگل‌ها، مراتع و اراضی حاشیه رودخانه استفاده خواهد شد. تخریب منابع طبیعی

## منابع

- Aalijahan, M., Salahi, B., & Hatami, D. (2021). Investigating the relationship between changes in atmospheric greenhouse gases and discharge fluctuations in the Basin of Aras River. *International Journal of Geography and Geography Education*, (44), 461-474. <https://doi.org/10.32003/igge.852263>
- Alsharif, M., Alzandi, A. A., Shrahily, R., & Mobarak, B. (2022). Land Use Land Cover Change Analysis for Urban Growth Prediction Using Landsat Satellite Data and Markov Chain Model for Al Baha Region Saudi Arabia. *Forests*, 13(10), 1530 . <https://doi.org/10.3390/f13101530>
- Arif, M., Sengupta, S., Mohinuddin, S., & Gupta , K. (2023). Dynamics of land use and land cover change in peri urban area of Burdwan city, India: a remote sensing and GIS based approach. *GeoJournal*, 1-25 . <https://doi.org/10.1007/s10708-023-10860-3>
- Aslami, F., & Ghorbani, A. (2018). Object-based land-use/land-cover change detection using Landsat imagery: a case study of Ardabil, Namin, and Nir counties in northwest Iran. *Environmental monitoring and assessment*, 190, 1-14. <https://doi.org/10.1007/s10661-018-6751-y>
- Camara, M., Jamil, N., Abdullah, A., & Hashim, R. (2020). Integrating cellular automata Markov model to simulate future land use change of a tropical basin. *Global Journal of Environmental Science and Management*, 6(3), 403-414 . <https://doi.org/10.22034/gjesm.2020.03.09>
- Chen, H., Tackie, E. A., Ahakwa, I., Musah, M., Salakpi, A., Alfred, M., & Atingabili, S. (2022). Does energy consumption ,economic growth, urbanization, and population growth influence carbon emissions in the BRICS? Evidence from panel models robust to cross-sectional dependence and slope heterogeneity. *Environmental Science and Pollution Research*, 29(25), 37598-37616 . <https://doi.org/10.1007/s11356-021-17671-4>
- Chen, J., Chen, J., Liao, A., Cao, X., Chen, L., Chen, X., He, C., Han, G., Peng, S., & Lu, M. (2015). Global land cover mapping at 30 m resolution: A POK-based operational approach. *ISPRS Journal of Photogrammetry and Remote Sensing*, 103, 7-27 . <https://doi.org/10.1016/j.isprsjprs.2014.09.002>
- Chen, Z., Huang, M., Zhu, D., & Altan, O. (2021). Integrating remote sensing and a markov-FLUS model to simulate future land use changes in Hokkaido, Japan. *Remote Sensing*, 13(13), 2621 . <https://doi.org/10.3390/rs13132621>
- Christensen, M., & Jokar Arsanjani, J. (2020). Stimulating implementation of sustainable development goals and conservation action: predicting future land use/cover change in Virunga National Park, Congo. *Sustainability*, 12(4), 1570 . <https://doi.org/10.3390/su12041570>
- Geranian, H. (2022). Determination of Potential Mineralization Areas by Hybrid Multi-Criteria Decision-Making Methods in the Khoynehrud Region of East Azerbaijan. *Journal of Mineral Resources Engineering*, 7(2), 25-46 . <https://doi.org/10.30479/JMRE.2022.14635.1470>
- Gurbuz, M., & Cilek, A. (2023). Analysis of Urban Land Use Change Using Remote Sensing and Different Change Detection Techniques: the Case of Ankara Province. *The International Archives of the Photogrammetry, Remote Sensing and Spatial Information Sciences*, 48, 515-520 . <https://doi.org/10.5194/isprs-archives-XLVIII-M-1-2023-515-2023>
- Hajihoseini, M., Morid, S., Emamgholizadeh, S., Amirahmadian, B., Mahjoobi, E., & Gholami, H. (2023). Conflict and cooperation in Aras International Rivers Basin: status, trend, and future. *Sustainable Water Resources Management*, 9(1), 28 . <https://doi.org/10.1007/s40899-022-00799-7>
- He, Y., Wu, W., Xie, X., Ke, X., Song, Y., Zhou, C., Li, W., Li, Y., Jing, R., & Song, P.

- (2023). Land Use/Cover Change Prediction Based on a New Hybrid Logistic-Multicriteria Evaluation-Cellular Automata-Markov Model Taking Hefei, China as an Example. *Land*, 12(10), 1899 .  
<https://doi.org/10.3390/land12101899>
- Hishe, S., Bewket, W., Nyssen, J., & Lyimo, J. (2020). Analysing past land use land cover change and CA-Markov-based future modelling in the Middle Suluh Valley, Northern Ethiopia. *Geocarto International*, 35(3), 225-255.  
<https://doi.org/10.1080/10106049.2018.1516241>
- Hua, A. (2017). Application of CA-Markov model and land use/land cover changes in Malacca River watershed, Malaysia. *Applied Ecology & Environmental Research*, 15 .(۴)  
[https://doi.org/10.15666/aeer/1504\\_605622](https://doi.org/10.15666/aeer/1504_605622)
- Isinkaralar, O., Varol, C., & Yilmaz, D. (2022). Digital mapping and predicting the urban growth: integrating scenarios into cellular automata—Markov chain modeling. *Applied Geomatics*, 1-11.  
<https://doi.org/10.1007/s12518-022-00464-w>
- Jana, A., Jat, M. K., Saxena, A., & Choudhary, M. (2022). Prediction of land use land cover changes of a river basin using the CA-Markov model. *Geocarto International*, 37(26), 14127-14147.  
<https://doi.org/10.1080/10106049.2022.2086634>
- Jones, G. L., & Qin, Q. (2022). Markov chain Monte Carlo in practice. *Annual Review of Statistics and Its Application*, 9, 557-578 .  
<https://doi.org/10.1146/annurev-statistics-040220-090158>
- Kamaraj, M., & Rangarajan, S. (2022). Predicting the future land use and land cover changes for Bhavani basin, Tamil Nadu, India, using QGIS MOLUSCE plugin. *Environmental Science and Pollution Research*, 1-12.  
<https://doi.org/10.21203/rs.3.rs-616393/v1>
- Karimzadeh Motlagh, Z., Lotfi, A., Pourmanafi, S., & Ahmadizadeh, S. (2022). Evaluation and Prediction of Land-Use Changes using the CA\_Markov Model. *Geography and Environmental Planning*, 33(2), 63-80.  
<https://doi.org/10.22108/gep.2022.130601.1458>
- Keshavarz-Ghorabae, M., Amiri, M., Zavadskas, E. K., Turskis, Z., & Antucheviciene, J. (2021). Determination of objective weights using a new method based on the removal effects of criteria (MEREc). *Symmetry*, 13(4), 525.  
<https://doi.org/10.3390/sym13040525>
- Khoshnoodmotagh, S., Verrelst, J., Daneshi, A., Mirzaei, M., Azadi, H., Haghghi, M., Hatamimanesh, M., & Marofi, S. (2020). Transboundary basins need more attention: Anthropogenic impacts on land cover changes in aras river basin, monitoring and prediction. *Remote Sensing*, 12(20), 3329 .  
<https://doi.org/10.3390/rs12203329>
- Kisamba, F. C., & Li, F. (2023). Analysis and modelling urban growth of Dodoma urban district in Tanzania using an integrated CA-Markov model. *GeoJournal*, 88(1), 511-532 .  
<https://doi.org/10.1007/s10708-022-10617-4>
- Kourosh Niya, A., Huang, J., Kazemzadeh-Zow, A., Karimi, H., Keshtkar, H., & Naimi, B. (2020). Comparison of three hybrid models to simulate land use changes: a case study in Qeshm Island, Iran. *Environmental monitoring and assessment*, 192, 1-19 .  
<https://doi.org/10.1007/s10661-020-08274-6>
- Lature, P. C., & Rakuasa, H. (2023). Analysis of Land Cover Change Due to Urban Growth in Central Ternate District, Ternate City using Cellular Automata-Markov Chain. *Journal of Applied Geospatial Information*, 7(1), 722-728 .  
<https://doi.org/10.30871/jagi.v7i1.4653>
- Li, J., Dong, S ,Li, Y., Wang, Y., Li, Z., & Li, F. (2022). Effects of land use change on ecosystem services in the China–Mongolia–Russia economic corridor. *Journal of Cleaner Production*, 360, 132175.  
<https://doi.org/10.1016/j.jclepro.2022.132175>
- Liping, C., Yujun, S., & Saeed, S. (2018). Monitoring and predicting land use and land

- cover changes using remote sensing and GIS techniques—A case study of a hilly area, Jiangle, China. *PloS one*, 13(7), e0200493 .  
<https://doi.org/10.1371/journal.pone.0200493>
- Lu, L., Xue, Q., Zhang, X., Qin, C., & Jia, L. (2023). Spatiotemporal Variation and Quantitative Attribution of Carbon Storage Based on Multiple Satellite Data and a Coupled Model for Jinan City, China. *Remote Sensing*, 15(18), 4472.  
<https://doi.org/10.3390/rs15184472>
- Minaei, F., Minaei, M., Kougias, I., Shafizadeh-Moghadam, H., & Hosseini, S. A. (2021). Rural electrification in protected areas: A spatial assessment of solar photovoltaic suitability using the fuzzy best worst method. *Renewable Energy*, 176, 334-345.  
<https://doi.org/10.1016/j.renene.2021.05.087>
- Minaei, M., & Kainz, W. (2016). Watershed land cover/land use mapping using remote sensing and data mining in Gorganrood, Iran. *ISPRS International journal of geo-information*, 5(5), 57 .<https://doi.org/10.3390/ijgi5050057>
- Mirzaei, M., Jafari, A., Verrelst, J., Haghghi, M., Zargarnia, A. H., Khoshnoodmotlagh, S., Azadi, H., & Scheffran, J. (2020). Trans-boundary land cover changes and its influences on water crisis :Case study of the Aras River. *Applied Geography*, 124, 102323.  
<https://doi.org/10.1016/j.apgeog.2020.102323>
- Mokarram, M., & Pham, T. M. (2023). Prediction of drought-driven land use/land cover changes in the Bakhtegan Lake watershed of Iran using Markov chain cellular automata model and remote sensing data. *Natural Hazards*, 116(1), 1291-1314.  
<https://doi.org/10.1007/s11069-022-05721-0>
- Moradi, E., & Sharifi, A. (2023). Assessment of forest cover changes using multi-temporal Landsat observation. *Environment, development and sustainability*, 25(2), 1351-1360.  
<https://doi.org/10.1007/s10668-021-02097-2>
- Mostafazadeh, R., & Talebi khiavi, H. (2022). Landscape change assessment and its prediction in a mountainous gradient with diverse land-uses. *Environment Development and Sustainability*, 24(1), 1-10.
- and Sustainability.  
<https://doi.org/10.1007/s10668-022-02862-x>
- Mustafa, U., & Ghasemlounia, R. (2021). Flood prioritization watersheds of The Aras River, based on geomorphometric properties: Case study İğdır Province. *Jeomorfolojik Araştırmalar Dergisi*(6), 21-40.  
<https://doi.org/10.46453/jader.781152>
- Nasehi, F., Hassani, A., Monavvari, M., Karbassi, A., & Khorasani, N. (2013). Evaluating the metallic pollution of riverine water and sediments: a case study of Aras River. *Environmental monitoring and assessment*, 185, 197-203.  
<https://doi.org/10.1007/s10661-012-2543-y>
- Ngo, T. D. (2023). Demographic trends and population health: tackling inequality in a world of eight billion people. In (Vol. 8, pp. e01 2137): BMJ Specialist Journals.  
<https://doi.org/10.1136/bmjgh-2023-012137>
- Pertuack, S., & Latue, P. C. (2023). Geographic Artificial Intelligence and Unmanned Aerial Vehicles Application for Correlation Analysis of Settlement Density and Land Surface Temperature in Panggang Island Jakarta. *Buana Jurnal Geografi, Ekologi Dan Kebencanaan*, 1(1), 39-47. <https://doi.org/10.5621/buana.v1i1.340>
- Rabby, Y. W., Li, Y., Abedin, J., & Sabrina, S. (2022). Impact of land use/land cover change on landslide susceptibility in Rangamati municipality of Rangamati District, Bangladesh. *ISPRS International journal of geo-information*, 11(2), 89.  
<https://doi.org/10.3390/ijgi11020089>
- Rahman, M. M., & Szabó, G. (2022). Sustainable Urban Land-Use Optimization Using GIS-Based Multicriteria Decision-Making (GIS-MCDM) Approach. *ISPRS International journal of geo-information*, 11(5), 313.  
<https://doi.org/10.3390/ijgi11050313>
- Rakuasa, H., Sihasale, D. A., Somae, G., & Latue, P. C. (2023). Prediction of Land Cover Model for Central Ambon City in 2041 Using the Cellular Automata Markov Chains Method. *Jurnal Geosains dan Remote Sensing*, 4(1), 1-10.

- <https://doi.org/10.23960/jgrs.2023.v4.i1.85>
- Rezaei, J. (2015). Best-worst multi-criteria decision-making method. *Omega*, 53, 49-57. <https://doi.org/10.1016/j.omega.2014.11.009>
- Samat, N. (2014). Monitoring the expansion of built-up areas in Seberang Perai region, Penang State, Malaysia. IOP Conference Series: Earth and Environmental Science, <https://doi.org/10.1088/1755-1315/18/1/012180>
- Sanakhan, A., Solgi, A., Sorbi, A & Arian, M. (2020). Survey of active tectonic: the influence of river morphotectonic in Aras Basin. *Arabian Journal of Geosciences*, 13, 1-20. <https://doi.org/10.1007/s12517-020-05484-7>
- Shafizadeh-Moghadam, H., Minaei, M., Feng, Y., & Pontius Jr, R. G. (2019). GlobeLand30 maps show four times larger gross than net land change from 2000 to 2010 in Asia. *International Journal of Applied Earth Observation and Geoinformation*, 78, 240-248. <https://doi.org/10.1016/j.jag.2019.01.003>
- Shah, M. I., Abbas, S., Olohunglana, A. O., & Sinha, A. (2023). The impacts of land use change on biodiversity and ecosystem services: An empirical investigation from highly fragile countries. *Sustainable Development*, 31(3), 1384-1400. <https://doi.org/10.1002/sd.2454>
- Shukla, A. K., Ojha, C. S. P., Mijic, A., Buytaert, W., Pathak, S., Garg, R. D., & Shukla, S. (2018). Population growth, land use and land cover transformations, and water quality nexus in the Upper Ganga River basin. *Hydrology and Earth System Sciences*, 22(9), 4745-4770. <https://doi.org/10.5194/hess-22-4745-2018>
- Sohail, M. T., Manzoor, Z., Ehsan, M., Al-Ansari, N., Khan, M. B., Shafi, A., Ullah, J., Hussain, A., Raza, D., & Usman, U. (2023). Impacts of urbanization, LULC, LST, and NDVI changes on the static water table with possible solutions and water policy discussions: A case from Islamabad, Pakistan. *Frontiers in Environmental Science*, 11, 1018500. <https://doi.org/10.3389/fenvs.2023.1018500>
- Sonu, T., & Bhagyanathan, A. (2022). The impact of upstream land use land cover change on downstream flooding: A case of Kuttanad and Meenachil River Basin, Kerala, India. *Urban Climate*, 41, 101089. <https://doi.org/10.1016/j.uclim.2022.101089>
- Talebi khiavi, H., Mostafazadeh, R., Asadi, M., & Asbaghian, K. (2022). Temporal land use change and its economic values under competing driving forces in a diverse land use configuration. *Arabian Journal of Geosciences*, 1597. <https://doi.org/10.1007/s12517-022-10890-0>
- Tavangar, S., Moradi, H., Massah Bavani, A., & Gholamalifard ,M. (2021). A futuristic survey of the effects of LU/LC change on stream flow by CA-Markov model: A case of the Nekarood watershed, Iran. *Geocarto International*, 36(10), 1100-1116. <https://doi.org/10.1080/10106049.2019.1633419>
- Vaddiraju, S. C., Talari, R., Bhavana, K., & Apsana, S. (2023). Future Land Use Land Cover Scenario Simulation Using Open-Source GISFor The Saroor Nagar Watershed, Telangana, India. <https://doi.org/10.21203/rs.3.rs-3091123/v1>
- Vu, T.-T., & Shen, Y. (2021). Land-use and land-cover changes in dong trieu district, vietnam, during past two decades and their driving forces *Land*, 10(8), 798. <https://doi.org/10.3390/land10080798>
- Xiao, T., Ran, F., Li, Z., Wang, S., Nie, X., Liu, Y., Yang, C., Tan, M., & Feng, S. (2023). Sediment organic carbon dynamics response to land use change in diverse watershed anthropogenic activities. *Environment International*, 172, 107788. <https://doi.org/10.1016/j.envint.2023.107788>
- Xu, J., Zhang, L., Li, J., Cao, Z., Yang, H., & Chen, X. (2021). Probabilistic estimation of variogram parameters of geotechnical properties with a trend based on Bayesian inference using Markov chain Monte Carlo simulation. *Georisk: Assessment and Management of Risk for Engineered Systems and Geohazards*, 15(2), 83-97.

<https://doi.org/10.1080/17499518.2020.1757720>

- Yulianto, F., Maulana, T., & Khomarudin, M. R. (2018). Analysis of the dynamics of land use change and its prediction based on the integration of remotely sensed data and CA-Markov model, in the upstream Citarum Watershed, West Java, Indonesia. International Journal of Digital Earth. <https://doi.org/10.1080/17538947.2018.1497098>
- Zarandian, A., Badamfirouz, J., Musazadeh, R., Rahmati, A., & Azimi, S. B. (2018). Scenario modeling for spatial-temporal change detection of carbon storage and sequestration in a forested landscape in Northern Iran. Environmental monitoring and assessment, 190(8), 474. <https://doi.org/10.1007/s10661-018-6845-6>
- Zarandian, A., Mohammadyari, F., Mirsanjari, M. M., & Visockiene, J. S. (2023). Scenario modeling to predict changes in land use/cover using Land Change Modeler and InVEST model: a case study of Karaj Metropolis, Iran. Environmental monitoring and assessment, 195(2), 273. <https://doi.org/10.1007/s10661-022-10740-2>
- Zhang, C., Yao, D., Zhen, Y., Li, W., & Li, K. (2022). Mismatched Relationship between Urban Industrial Land Consumption and Growth of Manufacturing: Evidence from the Yangtze River Delta. Land, 11(9), 1390. <https://doi.org/10.3390/land11091390>

- Zhang, Z., Hörmann, G., Huang, J., & Fohrer, N. (2023). A Random Forest-Based CA-Markov Model to Examine the Dynamics of Land Use/Cover Change Aided with Remote Sensing and GIS. Remote Sensing, 15(8), 2128. <https://doi.org/10.3390/rs15082128>